

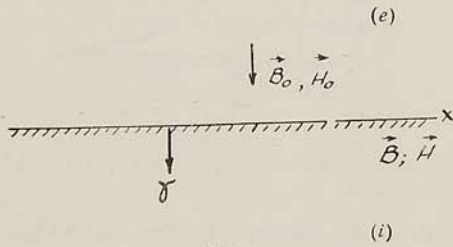
О МАГНИТОУПРУГОИ ВОЛНЕ НА ПОВЕРХНОСТИ ФЕРРОМАГНИТНОГО ПОЛУПРОСТРАНСТВА

АСАНЯН Д. Д., МАРГАРЯН Д. М.

В работе исследуется влияние магнитного поля и физико-механических характеристик полуплоскости на скорость поверхностных волн Релея. Показано, что вид функции $\chi(H)$ в выражении $\vec{B} = \chi(H) \vec{H}$ может влиять на скорость распространения поверхностных волн как качественным, так и количественным образом.

Приведен численный анализ полученных результатов.

Пусть магнитомягкая ферромагнитная полуплоскость помещена в однородном магнитном поле, вектор напряженности которого перпендикулярен поверхности раздела (фиг. 1), внешняя среда — вакуум.



Фиг. 1.

В настоящей работе исследуется влияние магнитного поля и физико-механических характеристик полуплоскости на скорость поверхностных волн Релея.

1. Под действием магнитного поля происходит магнитная поляризация упругой среды, приводящая как к изменению магнитного поля во всем пространстве, так и к появлению объемных сил и объемных моментов магнитного происхождения, плотность которых соответственно определяется формулами [1]:

$$\vec{f} = \mu_0 (\vec{M} \cdot \nabla) \vec{H} \quad (1.0)$$

$$\vec{C} = \mu_0 (\vec{M} \times \vec{H})$$

где \vec{H} —напряженность магнитного поля, \vec{M} —намагниченность среды, ∇ —оператор Гамильтона.

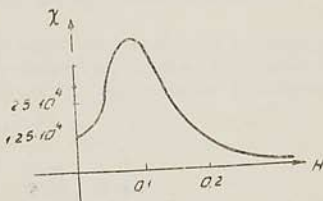
Зависимость между \vec{B} , \vec{M} и \vec{H} задается

$$\vec{B} = (\vec{H} + \vec{M})\mu_0, \quad \vec{M} = \chi(H)\vec{H}$$

и удовлетворяют уравнениям Максвелла

$$\operatorname{rot} \vec{H}^{(e,i)} = 0, \quad \operatorname{div} \vec{B}^{(e,i)} = 0 \quad (1.1)$$

У ферромагнитных материалов магнитная восприимчивость $\chi(H)$ не является постоянной, а зависит от величины напряженности магнитного поля H . Эта зависимость, например, для магнитного сплава Пермалой показана на фиг. 2.



Фиг. 2.

Для многих материалов функцию χ можно аппроксимировать следующей формулой [2]:

$$\chi(H) = \frac{\beta}{\mu_0 H} \arctg \alpha H; \quad \beta = \frac{2B_s}{\pi}; \quad \alpha = \frac{\mu_H - 1}{\beta} \mu_0 \quad (a)$$

В работе [3] функция χ берется в виде

$$\chi(H) = \epsilon_0 + b_0 H; \quad H = |\vec{H}| \quad (6)$$

B_s —индукция насыщения, μ_H —начальная магнитная проницаемость. Под действием объемных сил и моментов (1.0) среда деформируется и ее движение можно описывать следующими уравнениями [4]:

$$\begin{aligned} \frac{\partial}{\partial x_i} \left[S_{im} \left(\delta_{mk} + \frac{\partial U_k}{\partial x_m} \right) \right] + f_k &= \rho \frac{\partial^2 U_k}{\partial t^2} \\ n_k [e_{lmk} S_{lm} + c_k] &= 0 \end{aligned} \quad (1.2)$$

Поверхностные условия будут:

$$[\vec{B} - \vec{B}^{(e)}] \times \vec{n} = 0 \quad [\vec{H} - \vec{H}^{(e)}] \times \vec{n} = 0 \quad (1.3)$$

$$\left[S_{km} \left(\delta_{mi} + \frac{\partial U_i}{\partial x_m} \right) \right] n_k = F_i + [T_{km}^{(e)} - T_{km}] \cdot \left(\delta_{mi} + \frac{\partial U_i}{\partial x_m} \right) n_k$$

2. На основе уравнений (1.1) — (1.3) рассмотрим поверхностные волны Релея. Предполагается, что перемещение \vec{U} имеет только компоненты U_x , U_y и зависит от (x, y, t) .

В этом случае уравнения движения (1.2) примут вид [4]:

$$\frac{\partial^2 U_x}{\partial x^2} + \frac{\partial^2 U_x}{\partial y^2} + \frac{1}{1-2\gamma} \left(\frac{\partial U_x}{\partial x} + \frac{\partial U_y}{\partial y} \right)_x + \lambda_1 \frac{\partial^2 \Phi}{\partial x \partial y} = \frac{\rho}{\mu} \cdot \frac{\partial^2 U_x}{\partial t^2} \quad (2.1)$$

$$\frac{\partial^2 U_y}{\partial x^2} + \frac{\partial^2 U_y}{\partial y^2} + \frac{1}{1-2\gamma} \cdot \frac{\partial}{\partial y} \left(\frac{\partial U_x}{\partial x} + \frac{\partial U_y}{\partial y} \right) + \lambda_2 \frac{\partial^2 \Phi}{\partial y^2} = \frac{\rho}{\mu} \frac{\partial^2 U_y}{\partial t^2}$$

а уравнения Максвелла (1.1) будут иметь вид

$$\frac{\partial^2 \Phi}{\partial x^2} + \gamma^{-2} \frac{\partial^2 \Phi}{\partial y^2} = 0 \quad (2.2)$$

$$\Delta \Phi^{(e)} = 0$$

Границные условия (1.3) и условие на бесконечности будут:

$$\begin{aligned} h_x^{(e)}(x, 0, t) - h_x(x, 0, t) - d_1 U_{y, x}(x, 0, t) &= 0 \quad |x| < \infty \\ h_y^{(e)}(x, 0, t) - a_{22} h_y(x, 0, t) &= 0 \quad |x| < \infty \\ t_{xy}^e / \mu &= 0 \quad \text{при } y = 0 \quad |x| < \infty \\ t_{yy}^e(x, 0, t) / \mu &= - \frac{t_{yy}^{(e)}(x, 0, t)}{\mu} = 0 \quad |x| < \infty \end{aligned} \quad (2.3)$$

$$\Phi^{(e)}(x, y, t) / y \rightarrow 0 \quad \vec{U}(x, y, t) / y \rightarrow 0$$

$$\Phi(x, y, t) / y \rightarrow 0$$

В уравнениях (2.1) — (2.3) введены следующие обозначения:

$$\vec{h} = \text{grad} \Phi; \quad \lambda_1 = \frac{2\mu_0 \chi(H)}{\mu} \cdot H; \quad \gamma = \sqrt{\frac{1+a_{11}}{1+a_{22}}}$$

$$\lambda_2 = \frac{\mu_0}{\mu} H \cdot \chi(H) \cdot \left[\frac{2(\chi + H \cdot \chi')}{\chi} - \frac{H \cdot \chi'}{1+\chi} \right]$$

$$a_{ii} = \gamma + \frac{H_{0i}^2}{H} \cdot \frac{d\chi}{dH} \quad (i=1,2)$$

Можно легко убедиться, что решения уравнений (2.1) — (2.2) будут такими:

$$\Phi^{(e)}(x, y, t) = i D e^{i\omega t} \cdot e^{i\alpha x} \cdot e^{i\beta y}$$

$$\Phi(x, y, t) = i C e^{i\alpha x} \cdot e^{i\beta y} \cdot e^{-i\omega t}$$

$$\begin{aligned} U_x(x, y, t) &= e^{i\omega x} \cdot e^{i\omega t} \cdot \{\alpha A e^{-\gamma_1 y} + \gamma_1 B e^{-\gamma_1 y} - C Q_1 e^{-\gamma_1 y}\} \\ U_y(x, y, t) &= i e^{i\omega x} \cdot e^{i\omega t} \{\gamma_1 A e^{-\gamma_1 y} + \alpha B e^{-\gamma_1 y} - C Q_2 e^{-\gamma_1 y}\} \end{aligned} \quad (2.4)$$

где

$$\begin{aligned} Q_1 &= -\frac{\alpha^2 \gamma_1^2}{\Delta} \left\{ \gamma_2 \frac{\alpha^2 \gamma_1^2}{2(1-\nu)} + \gamma_1 \frac{1-2\nu}{2(1-\nu)} \left[\gamma_2^2 - \alpha^2 \gamma_1^2 \frac{2(1-\nu)}{1-2\nu} \right] \right\} \\ Q_2 &= -\frac{\alpha^2 \gamma_1^2}{\Delta} \left\{ \gamma_2 \left[\gamma_1^2 - \alpha^2 \gamma_1^2 \frac{1-2\nu}{2(1-\nu)} \right] - \gamma_1 \frac{\alpha^2}{2(1-\nu)} \right\} \\ \gamma_1^2 &= \alpha^2 - \omega_1^2; \quad \omega_1^2 = \frac{\omega^2}{c_1^2}; \quad c_1^2 = \frac{1+2\nu}{\rho}; \quad c_2^2 = \frac{\nu}{\rho} \\ \Delta &= [\omega_1^2 - \alpha^2(1-\gamma_1^2)] \cdot [\omega_2^2 - \alpha^2(1-\gamma_1^2)] \end{aligned}$$

Для γ_1 берется та ветвь, которая удовлетворяет условию

$$\operatorname{Re}(\gamma_1) = \operatorname{Re}[\sqrt{\alpha^2 - \omega_1^2}] \geq 0$$

Для определения постоянных A, B, C, D , решения (2.4) подставим в однородные граничные условия (2.3). После некоторых преобразований получим систему:

$$\begin{cases} \alpha \gamma_1 A + \alpha d_1 B + (1 + \gamma_1 a_{22} - d_1 Q_2) C = 0 \\ 2\alpha \gamma_1 A + (2\alpha^2 - \omega_2^2) B + [\alpha L - \alpha \gamma_1 Q_1 - \alpha Q_2] \cdot C = 0 \\ (2\alpha^2 - \omega_2^2) A + 2\alpha \gamma_1 B + \left[\frac{2\nu}{1-2\nu} \alpha Q_1 - \frac{2(1-\nu)}{1-2\nu} \alpha \gamma_1 Q_2 - \alpha \gamma_1 e_1 \right] C = 0 \\ \alpha + \gamma_1 a_{22} C = 0 \end{cases} \quad (2.5)$$

Для того, чтобы система (2.5) имела нетривиальные решения, необходимо, чтобы детерминант системы (2.5) был равен нулю

$$\begin{aligned} \Delta_0(\alpha) &= \frac{f_e(\alpha)}{\alpha \omega_2^2 \gamma_1} [1 + \gamma_1 a_{22} - d_1 Q_2] - \frac{2\nu}{1-2\nu} d_1 Q_1 + \\ &+ \frac{2(1-\nu)}{1-2\nu} \gamma_1 d_1 Q_2 + \gamma_1 e_1 d_1 + \frac{\alpha}{\omega_2^2 \gamma_1} [2\alpha^2 - \omega_2^2 - \\ &- 2\gamma_1 \gamma_2] \cdot [d_1 L - \gamma_1 Q_1 d_1 - d_1 Q_2] = 0 \end{aligned} \quad (2.6)$$

$f_e(\alpha) = 4\alpha^2 \gamma_1 \gamma_2 - (2\alpha^2 - \omega_2^2)^2$ — функция Релея.

Из условия $\Delta_0 = 0$ можно найти скорость поверхностных волн Релея.

Когда $\chi = \text{const}$ (магнитомягкий материал), из уравнения (2.6) получаем новое уравнение для определения скорости поверхностных волн Релея

$$(2 - \eta)^2 - 4(1 - \theta\eta)^{1/2} \cdot (1 - \eta)^{1/2} + b_0^{*2} \cdot \eta(1 - \theta\eta)^{1/2} = 0 \quad (2.7)$$

$$b_0^{*2} = B_0^2 / \mu_0 \nu$$

в (2.7) введены обозначения $\alpha^2 = \omega^2/c^2$, $\eta = c^2/c_2^2$, $\theta = c_2^2/c_1^2$.

Из (2.6) можно легко заметить, что поверхностные магнитоупругие волны Релея не обладают дисперсией, то есть скорость не зависит от ω . Легко заметить также, что $\Delta_0(a) = \Delta_0(-a)$, то есть если $a = a_R$ есть решение уравнения (2.6), то $a = -a_R$ тоже является решением (2.6).

В табл. 1 и 2 приведены решения уравнения (2.6) с учетом формул (а) и (б), соответственно.

Из табл. 1 видно:

Таблица 1

	$\mu_0 = 50$	$\mu_0 = 100$	$\mu_0 = 10^4$
$\mu_0 H_0 / B_S$	$\tau_i = c^2 / c_2^2$	$\tau_i = c^2 / c_2^2$	$\tau_i = c^2 / c_2^2$
0.1	0.8367	0.8338	0.8227
0.3	0.8253	0.8238	0.8199
0.5	0.8207	0.8200	0.8192
0.7	0.8173	0.8169	0.8164
0.9	0.8143	0.8140	0.8137

Таблица 2

	$\nu = 0.45$; $B_S^2 / \mu_0 = 0.001$; $b_0 \cdot B_S = 50$	$\nu = 0.45$; $B_S^2 / \mu_0 = 0.001$; $b_0 \cdot B_S = 50$
	$z_0 = 100$	$z_0 = 1000$
$\mu_0 H_0 / B_S$	$\tau_i = c^2 / c_2^2$	$\mu_0 H_0 / B_S$
0.01	0.0815	0.1
0.01	0.8941	0.1
0.03	0.2536	0.2
0.03	0.8851	0.2
0.05	0.4548	0.4
0.05	0.8405	0.4
0.06	0.5999	0.6
0.06	0.7735	0.6
		0.1225
		0.9
		0.412
		0.1787

Таблица 3

	$\nu = 0.35$; $B_S^2 / \mu_0 = 0.001$; $b_0 \cdot B_S = 50$; $z_0 = 100$	$\mu_0 H_0 / B_S$	$\tau_i = c^2 / c_2^2$
$\mu_0 H_0 / B_S$	$\tau_i = c^2 / c_2^2$	$\mu_0 H_0 / B_S$	$\tau_i = c^2 / c_2^2$
0.01	0.0301	0.07	0.2167
0.01	0.8738	0.07	0.8483
0.02	0.0604	0.08	0.2501
0.02	0.8724	0.08	0.8388
0.05	0.1526	0.09	0.2850
0.05	0.8619	0.09	0.8270
0.06	0.1843		
0.06	0.8559		

- 1) с учетом формулы (а) решение уравнения (2.6) является единственным, лежащим в интервале $0 < c < c_2$
- 2) с увеличением $\mu_0 H_0$ (магнитного поля) и μ_H решение уравнения (2.6) монотонно убывает.

Из табл. 2 и 3 видно:

- 1) уравнение (2.6) имеет два решения: с учетом формулы (б), в интервале $0 < c < c_2$. Одно расположено около нуля, другое—около скорости поперечной волны c_2 .

- 2) с увеличением $\mu_0 H_0$ эти корни приближаются.

С учетом формулы (б) получается, что есть случаи, когда поверхность магнитоупругая волна Релея полностью исчезает.

Отметим также, что в случае $\chi = \text{const}$ (магнитомягкий материал с линейной характеристикой) уравнение (2.7) имеет два решения— $c=0$ и $c=c_R < c_2$. c_R очень мало отличается от c_2 .

В работе [5] показано, что в магнитомягком ферромагнитном полупространстве при распространении релеевской волны, как следствие, возбуждается сдвиговая поверхность волна, если присутствует наклонное к плоскости распространения магнитное поле.

ABOUT A MAGNETOELASTIC WAVE ON THE FERROMAGNETIC SEMI-PLANE SURFACE

D. J. HASANIAN, J. M. MARGARIAN

ՅԵՐՐՈՄԱԳՆԵՍԻԿԱՆ ԿԻՍԱՀԱՐԹՈՒԹՅԱՆ ՄԱԿԵՎՈՒՅԹՈՎ
ՏԱՐԱԾՈՂ ՄԱԳՆԵԼՈՎԱԿԱՆ ԱԼՔԻ ՄԱՍԻՆ

Գ. Զ. ՀԱՍԱՆՅԱՆ, Զ. Մ. ՄԱՐԳԱՐՅԱՆ

Ա. Ժ Ո Փ Ո Ւ Ժ

Աշխատանքում ուսումնասիրվում է մագնիսական գաշտի և կիսահարթության ֆիզիկամեխանիկական բնութագրիչների աղդեցությունը նելեք սահմանափակությամբ ալիքների տարածման արագության վրա: Ցույց է տրվում, որ $\tilde{B} = \gamma(H) \cdot \hat{H}$ արտահայտության մեջ $\gamma(H)$ ֆունկցիայի տեսքը սահմանափակությամբ ալիքների տարածման արագության վրա կարող է աղդել ինչպես որակապես, այնպես էլ քանակապես:

Բերլած է ստացված արդյունքների թվային ուսումնասիրությունը:

ЛИТЕРАТУРА

- 1 Rao Y.-H., Yeh C.-S.: A Linear theory for soft ferromagnetic elastic solids.—Int. J. Eng. sci. 11, 415 (1973).
 - 2 Гачкевич А. Р., Солдяк М. Т. Термоупругость электропроводных ферромагнитных тел при индукционном нагреве квазистабилизованным электромагнитным полем—В кн. III Всесоюзный симпозиум «Теоретические вопросы магнитоупругости», Тезисы докл., Ереван, 1984.
 - 3 Белубекян М. В., Хачатрян Ю. М. К задаче о магнитоупругом выпучивании тонкой ферромагнитной пластинки.—Вестн. АН БССР, сер. физ.-мат. наук, 1984, № 4.
 - 4 Асанян Д. Д., Багдасарян Г. Е. Уравнения магнитоупругости ферромагнитного тела с нелинейным законом намагничивания. Некоторые примеры. В печати.
 - 5 Багдасарян Г. Е. Возбуждение сдвиговых поверхностных волн в полупространстве волной Релея.—Изв. АН АрмССР, Механика, 1990, т. 43, № 2, с. 38—43.
- Институт механики

Поступила в редакцию
4.11.1992

Институт механики
НАН Армении